



БИООРГАНИЧЕСКАЯ ХИМИЯ

том 7 * № 7 * 1981

УДК 577.153.0.2

ПРОЯВЛЕНИЕ ДВУХ ОСНОВНЫХ ГРУПП В АКТИВНЫХ ЦЕНТРАХ ХОЛИНЭСТЕРАЗ В РЕАКЦИИ С Н-МЕТИЛКАРБАМОИЛХОЛИНОМ

Кесватера Т. А., Игумнова Н. Д., Аавиксаар А. А.

Институт химической и биологической физики Академии наук ЭССР, Таллин

Определены кинетические параметры K_Q и k_2 для реакции карбамоилирования ацетилхолинэстеразы (КФ 3.1.1.7) и бутирилхолинэстеразы (КФ 3.1.1.8) N-метилкарбамоилхолином в интервале значений pH 4–8,5 и константы скорости второго порядка для реакции ацетилхолинэстеразного гидролиза бутилацетата в интервале pH 5–8. На стадии образования обратимого сорбционного комплекса между ферментами и карбаматом проявлялась ионогенная группа с pK_a 6,3 для ацетилхолинэстеразы и 6,5 для бутирилхолинэстеразы, на стадии образования карбамоплфермента – группа с pK_a 5,4 для ацетилхолинэстеразы и 5,6 для бутирилхолинэстеразы. В реакции гидролиза бутилацетата под действием ацетилхолинэстеразы обнаруживалась одна катализическая группа с pK_a 5,5. Эти результаты согласуются с представлением об участии в активных центрах холинэстераз двух основных групп, катализически активных в непротонированном виде.

Вопрос о соответствии между экспериментальными данными по влиянию pH среды на кинетику реакций, катализируемых холинэстеразами, и имеющимися представлениями о механизме холинэстеразного катализа обсуждается в литературе уже длительное время. В результате исследования зависимости кинетики ацетилхолинэстеразного гидролиза различных нейтральных и катионных субстратов от pH Крупкой была развита гипотеза [1–4], согласно которой в активном центре этого фермента имеются две имидазольные группы с разными значениями pK_a , одна из которых в непротонированном виде участвует в стадии ацетилирования, а другая – в стадии дезацетилирования. Экспериментальной основой этой гипотезы были данные, показывающие, что значения pK_a , полученные из pH-зависимости начальной скорости реакции гидролиза эфиров уксусной кислоты при их низких концентрациях ($[S] \ll K_m$), существенно различаются для незаряженных (pK_a 5,5) и заряженных (pK_a 6,0–6,2) субстратов [1]. При этом автор предполагает, что полученные в таких условиях pK_a отражают ионизацию групп в свободном ферменте [5].

Анализ pH-зависимостей максимальной скорости ацетилхолинэстеразного гидролиза субстратов, для которых лимитирующей стадией является дезацетилирование фермента (фенилацетат и ацетилхолин), свидетельствует о наличии каталитической группы со значением pK_a 6,3. Поскольку группа с этим же значением pK_a контролирует связывание ферментом обратимых алкиламмониевых ингибиторов [1], Крупка заключил, что имидазольный остаток, участвующий в стадии дезацетилирования, располагается по соседству с анионным центром ацетилхолинэстеразы и в протонированном виде не допускает связывания ферментом катионных реаген-

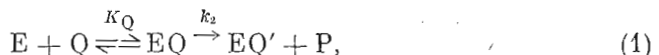
тов, приводя к проявлению pK_a этого имидазола в условиях $[S] \ll K_m$, когда $v = [S](V/K_m)$. Для незаряженного субстрата, изоамилацетата, показана независимость константы связывания от pH в промежутке 5,5–7,5 [2].

С другой стороны, в pH-зависимостях максимальной скорости гидролиза таких незаряженных и заряженных субстратов, для которых можно было предполагать, что стадией, лимитирующей скорость, является ацетилирование фермента (изоамилацетат, метиламиноэтилацетат, дипропилметиламиноэтилацетат), во всех случаях была обнаружена группа со значением pK_a 5,5 [1]. По мнению Крупки, это pK_a имидазольного остатка, контролирующего ацетилирование активного центра ацетилхолинэстеразы.

Из этого вытекает, что в pH-зависимости константы скорости второго порядка ацетилирования активного центра ацетилхолинэстеразы под действием заряженных субстратов должно отражаться наличие одновременно двух групп с pK_a 6,3 и 5,5, контролирующих связывание катионного субстрата и ацетилирование фермента соответственно. В литературе, однако, до сих пор таких экспериментальных данных нет. Кроме того, в 1975 г. Розенбери [6] опубликовал результаты, показывающие проявление в pH-зависимости константы скорости второго порядка ацетилхолинэстеразного гидролиза некоторых субстратов $pK_a \geq 6$. Справедливость предложенного Крупкой распределения pK_a на две группы в зависимости от того, является ли субстрат заряженным или нейтральным, была поставлена Розенбери [6] под сомнение. Розенбери предполагает, что на стадии ацетилирования происходит общий основный катализ с участием одной группы с истинным значением pK 6,3. Различия в значениях pK_a он объясняет наличием особой стадии изомеризации исходного комплекса Михаэлиса, скорость которой зависит от природы субстрата и может стать лимитирующей для некоторых субстратов, что приводит к проявлению в pH-зависимости константы скорости второго порядка кажущихся pK_a со значениями ниже 6,3.

Необходимость учета диссоциации уксусной кислоты при pH ниже 5, а также то обстоятельство, что в большинстве случаев для субстратов точно не известно, какая стадия лимитирует скорость ферментативного гидролиза, значительно затрудняют исследование pH-зависимостей в случае холинэстеразного гидролиза эфиров уксусной кислоты. По этой причине физическое содержание измеряемых параметров стационарной кинетики часто не вполне ясно, особенно если pH меняется в широких пределах.

Чтобы получить однозначные экспериментальные данные о значениях pK_a групп в активных центрах холинэстераз, целесообразно использовать субстрат, моделирующий определенные стадии ферментативной реакции. В настоящей работе в качестве такого модельного субстрата использовался N-метилкарбамоилхолин, который взаимодействует с холинэстеразами по механизму «ацилирующих ингибиторов» [7]:



где E – фермент, Q – карбамат, EQ – нековалентный фермент-карбаматный комплекс, EQ' – карбамоилфермент, P – продукт реакции.

Результаты изучения влияния pH на реакцию карбамоилирования ацетилхолинэстеразы и бутирилхолинэстеразы показывают (табл. 1), что при увеличении pH константы K_Q для обоих ферментов уменьшаются, а значения k_2 возрастают.

Результаты анализа pH-зависимостей K_Q и k_2 на основе уравнений (3) и (4) (см. «Экспериментальную часть») приведены в табл. 2. На рис. 1 и 2 показаны теоретические кривые pH-зависимостей, которые вычислены исходя из данных этой таблицы. Из рисунков видно, что экспериментальные данные в изучаемом интервале pH согласуются с теоретическими кривыми. На рис. 3 представлены зависимости $\lg k_{11}$ (константы скорости второго порядка) от pH для реакций карбамоилирования ацетилхолинэстеразы и ацетилхолинэстеразного гидролиза незаряженного субстрата (бутил-

Таблица 1

Влияние pH среды на кинетические параметры K_Q и k_2 для реакции карбамоилирования ацетилхолинэстеразы и бутирилхолинэстеразы N-метилкарбамоилхолином в 0,15 и 0,60 M растворах KCl при 25°C в 5 mM фосфатном буфер

Ацетилхолинэстераза			Бутирилхолинэстераза		
pH	$K_Q \cdot 10^3$, М	k_2 , мин $^{-1}$	pH	$K_Q \cdot 10^3$, М	k_2 , мин $^{-1}$
0,15 M KCl					
4,10	351±24	0,169±0,013	4,55	265±16	0,098±0,006
4,55	110±8	0,264±0,021	5,10	54,8±3,3	0,188±0,042
5,10	41,7±2,5	0,673±0,047	5,45	32,1±1,9	0,348±0,021
5,50	17,5±1,4	1,16±0,07	5,90	13,9±0,8	0,551±0,030
6,04	7,14±0,42	1,56±0,08	6,06	13,1±0,9	0,568±0,029
6,58	4,36±0,27	1,96±0,12	6,50	6,25±0,29	0,719±0,039
7,00	2,67±0,13	1,92±0,15	7,00	3,95±0,16	0,879±0,038
7,50	2,86±0,19	2,13±0,14	7,50	2,80±0,45	0,895±0,034
7,75	2,78±0,16	2,08±0,12	7,89	2,05±0,09	0,985±0,038
			8,45	2,98±0,48	0,830±0,041
0,60 M KCl					
5,13	132±9	0,671±0,047	5,04	105±6	0,224±0,013
5,58	32,1±1,9	1,09±0,06	5,51	49,6±2,4	0,385±0,023
6,05	17,9±1,1	1,49±0,08	6,01	24,6±1,3	0,618±0,028
6,50	10,0±0,6	1,75±0,10	6,50	12,2±0,6	0,781±0,031
7,00	8,33±0,37	1,75±0,08	7,00	6,95±0,22	0,826±0,025
7,50	6,45±0,38	1,90±0,13	7,45	5,20±0,21	0,813±0,020
8,00	6,76±0,32	2,04±0,12	7,80	5,39±0,28	0,881±0,031

Таблица 2

Результаты анализа pH-зависимостей K_Q и k_2 для реакций карбамоилирования ацетилхолинэстеразы и бутирилхолинэстеразы при 25°C в 5 mM фосфатном буфере

Фермент	[KCl], М	pK_{a1}^*	pK_{a2}^{**}	$K_Q^{\text{опт}} \cdot 10^3$, М	$k_2^{\text{опт}}$, мин $^{-1}$
Ацетилхолинэстераза	0,15	6,29±0,12	5,40±0,18	2,71±0,20	2,05±0,15
	0,60	6,24±0,15	5,38±0,20	7,08±0,31	1,97±0,13
Бутирилхолинэстераза	0,15	6,51±0,10	5,64±0,13	2,82±0,18	0,92±0,03
	0,60	6,62±0,17	5,58±0,15	5,62±0,25	0,87±0,03

* Вычислены из данных по влиянию pH на K_Q .

** Вычислены из данных по влиянию pH на k_2 .

ацетата). Из рисунка четко видно различие в pH-зависимостях обеих констант скорости второго порядка: зависимость от pH $\lg k_{II}$ карбамоилирования, вычисленная из экспериментальных значений K_Q и k_2 в табл. 1, хорошо описывается теоретической кривой, учитывающей протонизацию двух основных катализитических групп, а pH-зависимость $\lg k_{II}$ в случае бутилапетата характеризуется наличием только одной группы со значением pK_a $5,54\pm0,11$ ($k_{II}^{\text{опт}} = (7,25\pm0,17) \cdot 10^{-2}$ М $^{-1}$ мин $^{-1}$). Таким образом, значение pK_a из данных по гидролизу бутилапетата в пределах точности измерений совпадает с pK_{a2} 5,4 для реакции карбамоилирования ацетилхолинэстеразы.

На основании этих результатов можно сделать вывод, что в pH-зависимости константы скорости второго порядка гидролиза бутилапетата проявляется катализическая группа, от протонизации которой зависит протекание стадии образования карбамоилфермента. Катализическая группа,

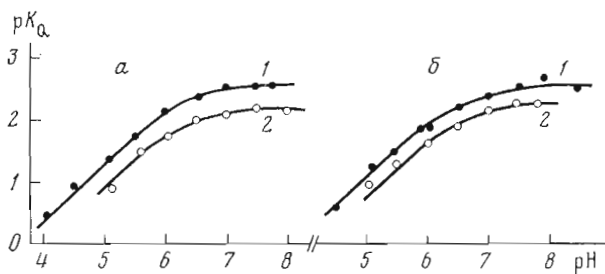


Рис. 1. Зависимость pK_Q от pH для реакции ацетилхолинэстеразы (а) и бутирилхолинэстеразы (б) с N -метилкарбамоилхолином. 1 – 0,15 М КСl, 2 – 0,60 М КСl

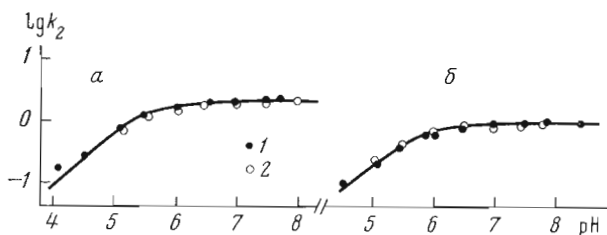


Рис. 2. Зависимость $\lg k_2$ от pH для реакции карбамоилирования ацетилхолинэстеразы (а) и бутирилхолинэстеразы (б) N -метилкарбамоилхолином в 0,15 М КСl (1) и 0,60 М КСl (2)

характеризуемая pK_{a1} 6,3, которая проявляется на стадии связывания катионного карбамата, связана с присутствием ионного заряда в карбамате, так как эта группа не обнаруживается в случае незаряженного реагента — бутилацетата. Проявление на стадии декарбамоилирования N,N -диметилкарбамоилхолинэстеразы каталитической группы с pK_a 6,3, аналогичное проявлению этой группы в реакции дезацетилирования, было показано ранее [8].

Таким образом, в настоящей работе получены экспериментальные данные, показывающие, что pH -зависимость константы скорости второго порядка реакции холинэстераз с катионным карбаматом описывается с учетом двух констант ионизации, что указывает на возможность контрлирования реакции карбамоилирования двумя каталитическими группами, ионизирующимися в свободном ферменте. Этот результат подтверждает выводы Крупки [1–4] и не согласуется с предположением Розенбери [6] о лимитирующей скорость стадии изомеризации комплекса Михаэлиса, обнаруживаемой в pH -зависимости константы скорости второго порядка гидролиза некоторых субстратов в величинах кажущихся pK_a со значениями меньше 6,3.

Результаты настоящей работы показывают, что по влиянию pH на реакцию карбамоилирования активного центра под действием N -метилкарбамоилхолина ацетилхолинэстеразу и бутирилхолинэстеразу практически невозможно отличить друг от друга. Это согласуется с представлением о сходстве в механизме действия холинэстераз двух типов [9], в пользу чего говорят также данные, согласно которым расхождения в качественных характеристиках специфичности ацетилхолинэстеразы и бутирилхолинэстеразы относительно уходящей группы субстратов [10, 11] и фосфорорганических ингибиторов [12, 13] весьма незначительны. Необходимо отметить сходство кинетических параметров K_Q и k_2 в оптимуме активности этих ферментов в реакции карбамоилирования N -метилкарбамоилхолином (табл. 2).

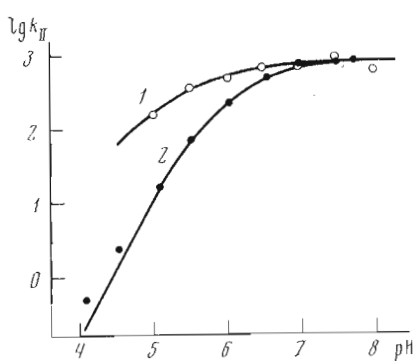


Рис. 3. Зависимость $\lg k_{II}$ от pH для реакции ацетилхолинэстеразы с бутилацетатом (1) и N-метилкарбамоилхолином (2) в присутствии 5 мМ фосфатного буфера при 25° С в 0,15 М растворе KCl

холинэстеразой незаряженного необратимого ингибитора нафталина обнаруживалась группа с pK_a 6,0 [16].

Таким образом, вопрос о влиянии pH на взаимодействие холинэстераз с различными реагентами требует дальнейшего изучения. Такие исследования могут дать новую информацию о механизме действия холинэстераз.

В литературе имеются указания на зависимость значений pK_a ионогенных групп в активных центрах холинэстераз от ионной силы среды [6, 8, 9, 15, 17]. В настоящей работе влияния ионной силы на значения pK_a не наблюдали, так как в 0,15 и 0,60 М растворах KCl значения pK_a практически совпадают (табл. 2). Ионная сила оказывала влияние только на константы связывания катионного карбамата, по-видимому, в результате уменьшения кулоновского взаимодействия между анионным центром фермента и катионным зарядом реагента. Влияние ионной силы на константу связывания N-метилкарбамоилхолина бутирилхолинэстеразой в литературе подробно описано [18].

Экспериментальная часть

Ацетилхолинэстераза яда среднеазиатской кобры (*Naja naja oxiana*) была очищена гель-хроматографическим методом на колонке с сепадексом G-75. Использовали ферментный препарат с удельной каталитической активностью 3,3 кат·кг⁻¹. Высущенный в экскикаторе яд кобры был получен от Среднеазиатского зоокомбината (Ташкент). Бутирилхолинэстераза — лиофильно высущенный препарат холинэстеразы сыворотки крови лошади производства НИИ вакцин и сывороток им. И. И. Мечникова (Москва) с удельной каталитической активностью 0,11 кат·кг⁻¹. Исходные растворы ферментов приготавливали в 5 мМ фосфатном буфере, содержащем 0,15 М KCl, и хранили при 4° С. Активность ферментов в этих условиях в течение месяца не менялась. Синтез и свойства иодистого N-метилкарбамоилхолина описаны ранее [19]. Ацетилхолин иодистый марки ч. (Chemapol, Чехословакия) использовали после перекристаллизации из смеси спирт — эфир. Бутилацетат («Союзреактив») был очищен перегонкой. Использовали KCl и KH₂PO₄ марки ос.ч., Na₂HPO₄ и KOH марки х.ч.

Кинетические измерения активностей холинэстераз проводили на pH-стабильности фирмой «Radiometer» (Дания), комплект TTT2/ABU1/SBR3. Карбамоилирование фермента осуществляли в термостатируемом сосуде при 25° С в 5 мМ фосфатном буфере, содержащем 0,15 или 0,60 М KCl. Через различные промежутки времени из реакционной смеси отбирали пробы

При рассмотрении более широкого круга реагентов в поведении двух холинэстераз обнаруживаются, однако, различия. Недавно Лангенем и Ярвом [14] было показано, что в pH-зависимости константы k_2 для реакции ингибиования бутирилхолинэстеразы O,O-диэтилтиофосфатами вообще не обнаруживается pK_a в промежутке pH от 5 до 9, а в константе связывания обнаруживается pK_a 6,2 для незаряженного ингибитора и pK_a 6,8 для заряженного. Кроме того, в pH-зависимости константы скорости второго порядка фосфорилирования активного центра бутирилхолинэстеразы заряженным ингибитором проявлялась еще pK_a 4,5, которую авторы приписали карбоксильной группе анионного центра фермента [15], а в pH-зависимости константы связывания бутирилхолинэстеразой незаряженного необратимого ингибитора нафталина обнаруживалась группа с pK_a 6,0 [16].

по 0,2 мл в термостатированную при 25° С ячейку pH-стата с 15 мл 2,3 мМ водного раствора ацетилхолина в случае ацетилхолинэстеразы или 20 мМ раствора ацетилхолина в случае бутирилхолинэстеразы, содержащих 0,15 М KCl. Остаточную активность фермента в пробе оценивали по начальной скорости ферментативного гидролиза ацетилхолина, которую определяли титрованием выделяющейся кислоты 0,05 М раствором KOH.

Константы скорости псевдопервого порядка карбамоилирования фермента (k_1) вычисляли из наклонов линейных зависимостей в координатах $\ln A_t$ от t , согласно уравнению (2):

$$\ln A_t = \ln A_0 - k_1 t, \quad (2)$$

где A_0 и A_t — соответственно активности фермента в нулевой момент времени и в момент времени t . Константы K_Q и k_2 вычисляли из линейных зависимостей в координатах $1/k_1$ против $1/[Q]$, соответствующих линейной трансформации уравнения $k_1 = k_2 [Q] / (K_Q + [Q])$ [7] для реакции карбамоилирования холинэстераз по схеме (1). Константу скорости карбамоилирования второго порядка вычисляли как соотношение $k_{11} = k_2 / K_Q$.

При каждом значении pH k_1 определяли при 7–8 концентрациях карbamата с таким учетом, чтобы K_Q при данном значении pH по возможности оставалась в пределах изучаемого промежутка концентрации карbamата. Во избежание изменения ионной силы среды в результате добавления карbamата это требование не соблюдалось при значениях pH < 5, где концентрации карbamата были взяты ниже значения K_Q . Этим обусловлены большие погрешности при определении кинетических параметров при низких значениях pH. Относительная ошибка определения констант, однако, никогда не превышала 7–8% (табл. 1).

Константы скорости второго порядка ацетилхолинэстеразного гидролиза бутилацетата вычисляли из данных измерения скоростей реакции при концентрации субстрата $5,0 \cdot 10^{-4}$ М, значительно меньшей по сравнению с кажущейся константой Михаэлиса. В таких условиях соблюдается кинетика первого порядка согласно уравнению для начальной скорости реакции $v = k_{11} [E]_0 [S] = k_{\text{набл}} [S]$, где $[E]_0$ — исходная концентрация фермента и $[S]$ — концентрация субстрата. Константы скорости первого порядка, $k_{\text{набл}}$, вычисляли дифференциальным методом Рудакова [20], константы скорости второго порядка — согласно уравнению $k_{11} = k_{\text{набл}} / [E]_0$. Реакцию гидролиза бутилацетата проводили в термостатированной при 25° С ячейке pH-стата в присутствии 0,15 М KCl.

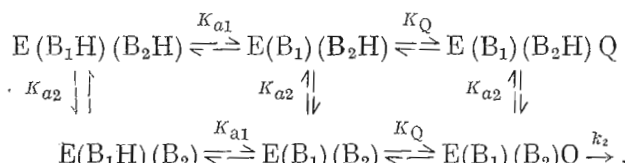
Концентрацию активных центров ацетилхолинэстеразы вычисляли из начальной скорости гидролиза 2,3 мМ ацетилхолина при 25° С и pH 7,5 в растворе 0,15 М KCl, используя значение молекулярной активности фермента $a_m = 6,33 \cdot 10^3 \text{ с}^{-1}$ [21].

Значения констант диссоциации протонированных основных групп активного центра фермента, K_{a1} и K_{a2} , были определены из линейных зависимостей K_Q от $[\text{H}^+]$ и $1/k_2$ от $[\text{H}^+]$ на основе уравнений

$$K_Q = K_Q^{\text{опт}} + (1 + [\text{H}^+]/K_{a1}), \quad (3)$$

$$k_2 = k_2^{\text{опт}} + (1 + [\text{H}^+]/K_{a2})^{-1}, \quad (4)$$

соответствующих схеме реакции карбамоилирования



учитывающей независимую протонизацию двух основных каталитических групп B_1 и B_2 .

Вычисления кинетических констант и статистическую обработку экспериментальных данных по методу наименьших квадратов осуществляли на ЭВМ «Наира-2».

ЛИТЕРАТУРА

1. Krupka R. M. Are identical catalytic groups involved in the acetylation and deacetylation steps of acetylcholinesterase reactions? — Biochem. and Biophys. Res. Commun., 1965, v. 19, № 4, p. 531–537.
2. Krupka R. M. Hydrolysis of neutral substrates by acetylcholinesterase.— Biochemistry, 1966, v. 5, № 6, p. 1983–1988.
3. Krupka R. M. Chemical structure and function of the active center of acetylcholinesterase.— Biochemistry, 1966, v. 5, № 6, p. 1988–1998.
4. Krupka R. M. Evidence for an intermediate in the acetylation reaction of acetylcholinesterase.— Biochemistry, 1967, v. 6, № 4, p. 1183–1190.
5. Krupka R. M., Laidler K. J. The influence of pH on the rates of enzyme reactions. Part 5. The case of several enzyme-substrate intermediates.— Trans. Faraday Soc., 1960, v. 56, p. 1467–1476.
6. Rosenberry T. L. Catalysis by acetylcholinesterase: evidence that the rate-limiting step for acylation with certain substrates precedes general acid-base catalysis.— Proc. Nat. Acad. Sci. USA, 1975, v. 72, № 10, p. 3834–3838.
7. Aldridge W. N., Reiner E. Enzyme inhibitors as substrates. Amsterdam — London: North-Holland Publishing Company, 1972, p. 27.
8. Kitz R. J., Braswell L. M., Ginsburg S. On the question: is acetylcholinesterase an allosteric protein? — Molec. Pharmacol., 1970, v. 6, № 2, p. 108–121.
9. Бресткин А. П., Брик И. Л., Волкова Р. И., Майзель Е. Б., Розенгарт Е. В. Влияние ионной силы и органических растворителей на взаимодействие холинэстераз с субстратами и фосфорорганическими ингибиторами.— Биохимия, 1970, т. 35, вып. 2, с. 382–393.
10. Järv J., Kesvatera T., Aaviksaar A. Structure-activity relationships in acetylcholinesterase reactions. Hydrolysis of non-ionic acetic esters.— Eur. J. Biochem., 1976, v. 67, p. 315–322.
11. Ярв Я. Л., Лангель Ю. Л. Эффекты отщепляемой группы субстратов в реакции с бутирилхолинэстеразой.— Биоорган. химия, 1979, т. 5, № 5, с. 746–756.
12. Ярв Я. Л., Аавиксаар А. А., Годовиков Н. Н., Лобанов Д. И. Индуциционное влияние отщепляющейся группы в реакции фосфорорганических ингибиторов с ацетилхолинэстеразой.— Биоорган. химия, 1976, т. 2, № 7, с. 978–985.
13. Langel Ü., Järv J. Leaving group effects in butyrylcholinesterase reaction with organophosphorus inhibitors.— Biochim. et biophys. acta, 1978, v. 525, p. 122–133.
14. Langel Ü., Järv J. Influence of pH on butyrylcholinesterase reaction with organophosphorus inhibitors.— Biochim. et biophys. acta, 1978, v. 526, p. 450–456.
15. Лангель Ю. Л., Ярв Я. Л. Константа диссоциации анионного центра бутирилхолинэстеразы.— Биоорган. химия, 1978, т. 4, № 10, с. 1352–1357.
16. Лангель Ю. Л., Ярв Я. Л. Влияние pH на гидрофобное связывание нафтилина в активном центре бутирилхолинэстеразы.— Реакц. способн. орг. соедин., 1978, т. 15, вып. 4(56), с. 456–463.
17. Wang E. I. C. Ionization of horse serum butyrylcholinesterase.— Biochim. et biophys. acta, 1970, v. 198, p. 236–241.
18. Игумнова Н. Д., Аавиксаар А. А., Богатков С. В. Влияние неорганических солей на взаимодействие бутирилхолинэстеразы с N-метилкарбамоилхолином.— Биоорган. химия, 1978, т. 4, № 5, с. 961–971.
19. Игумнова Н. Д., Аавиксаар А. А., Богатков С. В. Специфичность бутирилхолинэстеразы в реакции с N-метилкарбаматами.— Биоорган. химия, 1977, т. 3, № 10, с. 1401–1406.
20. Рудаков Е. С. Дифференциальные методы расчета констант скоростей неосложненных химических реакций.— Кинетика и катализ, 1960, т. 1, вып. 2, с. 177–187.
21. Ярв Я. Л., Аавиксаар А. А., Годовиков Н. Н., Лангель Ю. Л., Паст У. Э. Ацетилхолинэстераза яда кобры. Определение концентрации активных центров.— Биохимия, 1976, т. 41, вып. 5, с. 827–835.

Поступила в редакцию

3.VII.1980

После доработки

14.XI.1980

MANIFESTATION OF TWO BASIC GROUPS IN THE ACTIVE SITES
OF CHOLINESTERASES IN THE REACTION WITH N-METHYLCARBAMYLCHOLINE

KESVATERA T. A., IGUMNOVA N. D., AAVIKSAAR A. A.

*Institute of Chemical and Biological Physics, Academy
of Sciences of the Estonian SSR, Tallin*

The kinetic parameters K_Q and k_2 were measured for carbamylation of acetylcholinesterase (EC 3.1.1.7) and butyrylcholinesterase (EC 3.1.1.8) with N-methylcarbamylcholine over the pH range 4-8.5, and the second-order rate constants of acetylcholinesterase-catalyzed hydrolysis of butyl acetate were determined over the pH range 5-8. At the stage of reversible complex formation between the enzyme and carbamate, ionogenic group of pK_a 6.3 was detected in acetylcholinesterase and of pK_a 6.5 in butyrylcholinesterase; at the carbamylation step a group of pK_a 5.4 for the former and 5.6 for the latter was operative. In acetylcholinesterase-catalyzed hydrolysis of butyl acetate one catalytic group with pK_a 5.5 manifested itself. The results agree with the idea of two basic groups belonging to the active sites of cholinesterases and catalytically active in deprotonated state.